

XI - TEORIA DE PERTURBAÇÃO IND. TEMPO

$$H = H_0 + W \quad \text{ou} \\ = H_0 + \lambda \hat{W} \quad ; \quad \lambda \ll 1$$

H_0 tem soluções wonkeidas: $H_0 |\psi_n^i\rangle = E_n |\psi_n^i\rangle$
 \rightarrow conta degenerescências.

$$H(\lambda) = H_0 + \lambda \hat{W} \rightarrow H(\lambda) |\psi(\lambda)\rangle = E(\lambda) |\psi(\lambda)\rangle$$

Se $\lambda \ll 1$ e assumindo $E(\lambda) + |\psi(\lambda)\rangle$ contínuo \rightarrow fizesmos

$$|\psi(\lambda)\rangle = |0\rangle + \lambda |1\rangle + \lambda^2 |2\rangle + \dots = \sum_{q=0}^{\infty} \lambda^q |q\rangle$$

$$E(\lambda) = E_0 + \lambda \epsilon_1 + \dots = \sum_{q=0}^{\infty} \lambda^q \epsilon_q$$

$$[H_0 + \lambda \hat{W}] \left[\sum_{q=0}^{\infty} \lambda^q |q\rangle \right] = \left[\sum_{q=0}^{\infty} \lambda^q \epsilon_q \right] \left[\sum_{k=0}^{\infty} \lambda^k |k\rangle \right]$$

$$\sum_{q=0}^{\infty} \lambda^q H_0 |q\rangle + \sum_{q=0}^{\infty} \lambda^{q+1} \hat{W} |q\rangle = \sum_{q,k=0}^{\infty} \lambda^{q+k} \epsilon_q |k\rangle$$

ordem 0

$$H_0 |0\rangle = \varepsilon_0 |0\rangle$$

ordem 1

$$H_0 |1\rangle + \hat{W} |0\rangle = \varepsilon_0 |1\rangle + \varepsilon_1 |0\rangle$$

$$(H_0 - \varepsilon_0) |1\rangle + (\hat{W} - \varepsilon_1) |0\rangle = 0$$

ordem 2

$$H_0 |2\rangle + \hat{W} |1\rangle = \varepsilon_2 |0\rangle + \varepsilon_1 |1\rangle + \varepsilon_0 |2\rangle$$

$$(H_0 - \varepsilon_0) |2\rangle + (\hat{W} - \varepsilon_1) |1\rangle - \varepsilon_2 |0\rangle = 0$$

Escolha \downarrow fases e normalização

$$(1) \langle \psi(0) | \psi(1) \rangle = 1$$

$$(2) \langle \psi(0) | \psi(0) \rangle = \text{real}$$

UBS: $|\psi\rangle = |\psi\rangle e^{i\phi}$
 $\langle \psi | \psi \rangle = \langle \psi | \psi \rangle e^{i\phi} e^{-i(\phi+\delta)}$
 $= |\langle \psi | \psi \rangle| e^{i\delta}$
 \Rightarrow escolhemos $\delta = -\phi$

$$(1) [\underbrace{\langle \psi_0 + \lambda \langle \psi_1 + \lambda^2 \langle \psi_2 \dots}_{1} \overbrace{\rangle + \lambda \underbrace{\langle \psi_0 + \langle \psi_1 \dots}_{0} \overbrace{\rangle + \lambda^2 \underbrace{\langle \psi_0 + \langle \psi_1 + \langle \psi_2 \dots}_{0} \overbrace{\rangle + \dots} = 1}$$

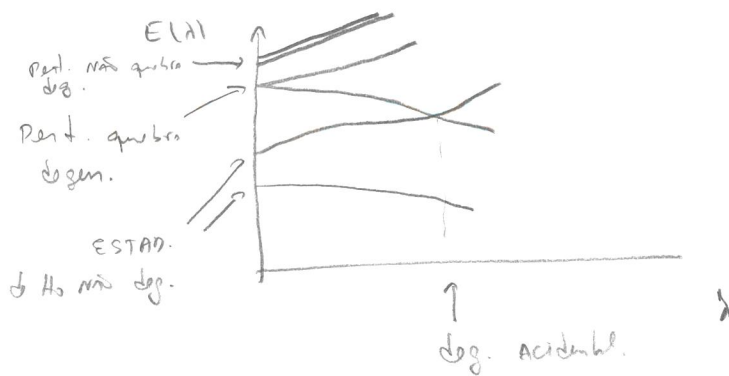
OLHANDO A EQUAÇÃO DE ORDEN 0 VEMOS QUE $|0\rangle$ É AUTO-ESTADO DE H_0 , QUE ASSUMIMOS NORMALIZADA $\Rightarrow \underline{\langle \psi_0 | \psi_0 \rangle = 1}$

$$(2) \underbrace{\langle \psi_0 |}_{1} + \underbrace{\lambda \langle \psi_1 |}_{\text{real}} + \underbrace{\lambda^2 \langle \psi_2 |}_{\text{real}} \dots = \text{real} \Rightarrow \langle \psi_1 | \psi_1 \rangle = \text{real}$$

$$\Rightarrow \langle \psi_1 | \psi_1 \rangle = \langle \psi_0 | \psi_0 \rangle = 0$$

$$\langle \psi_2 | \psi_2 \rangle = \langle \psi_1 | \psi_1 \rangle = -\frac{1}{2} \langle \psi_0 | \psi_0 \rangle \text{ etc}$$

Exemplos de que pode ocorrer



CASO NÃO-DEGENERADO

$$H_0 |\psi_n\rangle = E_n^0 |\psi_n\rangle$$

$$\underbrace{\text{orden}}_0 \quad |0\rangle = |\psi_n\rangle \quad ; \quad \epsilon_0 = E_n^0$$

$$\underbrace{\text{orden}}_1 \quad \underbrace{\langle 0 | H_0 - \epsilon_0 | 1 \rangle}_0 + \underbrace{\langle 0 | \hat{W} - \epsilon_1 | 1 \rangle}_0 = 0$$

$$\langle 0 | \hat{W} | 1 \rangle = \epsilon_1$$

$$\boxed{\lambda \epsilon_1 = \langle \psi_n | \hat{W} | \psi_n \rangle}$$

$$\langle \psi_p^i | H_0 - \epsilon_0 | 1 \rangle + \langle \psi_p^i | \hat{W} | 1 \rangle - \underbrace{\langle \psi_p^i | \epsilon_1 | 0 \rangle}_{=0} = 0 \quad p \neq n$$

$$E_p^0 \langle \psi_p^i | 1 \rangle - \epsilon_0 \langle \psi_p^i | 1 \rangle + \langle \psi_p^i | \hat{W} | \psi_n \rangle = 0$$

$$\langle \psi_p^i | 1 \rangle = \frac{\langle \psi_p^i | \hat{W} | \psi_n \rangle}{E_n^0 - E_p^0} \quad n \neq p$$

$$|1\rangle = \sum_p \sum_i \langle \psi_p^i | 1 \rangle | \psi_p^i \rangle$$

$$\Rightarrow \boxed{\lambda |1\rangle = \sum_{p \neq n} \sum_i \frac{\langle \psi_p^i | \hat{W} | \psi_n \rangle}{E_n^0 - E_p^0} | \psi_p^i \rangle}$$

$\langle \psi_n | 1 \rangle = 0$
devido a
exclusão
de fases.

orden 2

$$\underbrace{\langle \psi_n | H_0 - \varepsilon_0 | \psi \rangle}_{0} + \underbrace{\langle \psi_n | \hat{W} - \varepsilon_1 | \psi \rangle}_{0} - \varepsilon_2 \langle \psi_n | \psi_n \rangle = 0$$

$$\langle \psi_n | \hat{W} | \psi \rangle - \varepsilon_1 \underbrace{\langle \psi_n | \psi \rangle}_{0} = \varepsilon_2$$

$$\varepsilon_2 = \langle \psi_n | \hat{W} | \psi \rangle = \sum_{p \neq n} \sum_i \frac{\langle \psi_p | \hat{W} | \psi_n \rangle}{E_n^0 - E_p^0} \langle \psi_n | \hat{W} | \psi_p^i \rangle$$

$$\lambda^2 \varepsilon_2 = \sum_{p \neq n} \sum_i \frac{|\langle \psi_n | \hat{W} | \psi_p^i \rangle|^2}{E_n^0 - E_p^0}$$

$$E_n(\lambda) = E_n^0 + \langle \psi_n | W | \psi_n \rangle + \sum_{p \neq n} \sum_i \frac{|\langle \psi_n | W | \psi_p^i \rangle|^2}{E_n^0 - E_p^0} + \mathcal{O}(\lambda^3)$$

$$|\psi_n(\lambda)\rangle = |\psi_n\rangle + \sum_{p \neq n} \sum_i \frac{\langle \psi_p^i | W | \psi_n \rangle}{E_n^0 - E_p^0} |\psi_p^i\rangle + \mathcal{O}(\lambda)$$

Estimativa do erro na energia separamos em 1º orden:

$$\hat{\varepsilon}_2 \leq \sum_{p \neq n} \sum_i \frac{1}{DE} |\langle \psi_n | W | \psi_p^i \rangle|^2 \quad \text{onde} \quad DE = \text{espaçamento entre } E_n^0 \text{ e } E_{p+1}^0 \text{ ou } E_{p-1}^0$$

$$= \sum_p \sum_i \left[\frac{1}{DE} |\langle \psi_n | W | \psi_p^i \rangle|^2 \right] - \frac{1}{DE} |\langle \psi_n | W | \psi_n \rangle|^2$$

$$= \frac{1}{DE} \left[\langle \psi_n | W^2 | \psi_n \rangle - |\langle \psi_n | W | \psi_n \rangle|^2 \right] = \frac{1}{DE} \overline{(DN)^2} \quad \begin{matrix} \uparrow \\ \text{desv. quadr. média de} \\ W \text{ no estado } |\psi_n\rangle. \end{matrix}$$

O CASO DEGENERO

Suponha que E_n seja $g_n > 1$ degenero $\Rightarrow H|\psi_n^i\rangle = E_n|\psi_n^i\rangle \quad (i=1, \dots, g_n)$

Eq. p¹ orden zero: $H_0|0\rangle = E_0|0\rangle \Rightarrow |0\rangle$ pode ser f comb. linear das $|\psi_n^i\rangle$: $|0\rangle = \sum_{i=1}^{g_n} v_i^n |\psi_n^i\rangle$ com $v_i^n = \langle \psi_n^i | 0 \rangle$.

Eq. p¹ primeiros orden:

$$\rightarrow * \langle \psi_n^i | (H_0 - E_0)|1\rangle + (\hat{W} - E_1)|1\rangle = 0$$

$$\langle \psi_n^i | \hat{W} | 0 \rangle = E_1 \langle \psi_n^i | 0 \rangle \quad \text{substituindo } |0\rangle :$$

$$\sum_j \underbrace{\langle \psi_n^i | \hat{W} | \psi_n^j \rangle}_{(\hat{W}_n)_{ij}} v_j^n = E_1 v_i^n$$

$(\hat{W}_n)_{ij}$ = matriz $g_n \times g_n$

$$\boxed{\hat{W}_n v^n = E_1 v^n} \rightarrow \text{equação de auto-valores}$$

$\Rightarrow E_1$ são os auto-valores de $\hat{W}_n \rightarrow g_n$ soluções
 v^n são os auto-vetores, i.e., a combinação linear
apropriada das $|\psi_n^i\rangle$ \rightarrow Aproximação muda de ordem 0.

Aplicações da Teoria de Perturbação p/ o Caso

De geração

① Efeito Zeeman no Átomo de Hidrogênio

- campo magnético uniforme na direção \hat{z} , $\vec{B} = B_0 \hat{z}$

$$\vec{A} = \frac{B_0}{2} (-y, x, 0) ; \quad \nabla \times \vec{A} = \frac{B_0}{2} \begin{vmatrix} \hat{x} & \hat{y} & \hat{z} \\ \partial_x & \partial_y & \partial_z \\ -y & x & 0 \end{vmatrix} = B_0 \hat{z}$$

$$H = \frac{1}{2m} (\vec{p} - e\vec{A})^2 - \frac{e^2}{r} = H_0 - \frac{e}{2m} (\vec{p} \cdot \vec{A} + \vec{A} \cdot \vec{p}) + \frac{e^2}{2m^2} \vec{A}^2$$

$$(\vec{p} \cdot \vec{A}) \Psi = -i\hbar \nabla \cdot (\vec{A} \Psi) = -i\hbar \vec{A} \cdot \nabla \Psi = \vec{A} \cdot \vec{p} \Psi$$

como $\nabla \cdot \vec{A} = 0$

$$\vec{A} = \frac{B_0^2}{4} (x \hat{i} + y \hat{j})$$

$$e^2 = \frac{q^2}{4\pi\epsilon_0}$$

Se B_0 é pequeno, desconsiderando termos em B_0^2

$$W = -\frac{e}{m} \vec{A} \cdot \vec{p} = -\frac{eB_0}{2m} (-pxu + pyv) = -L_z \frac{eB_0}{2\mu} \quad \mu_B = \frac{e\hbar}{2\mu}$$

$$= -\frac{B_0 \mu_B}{\hbar} L_z$$

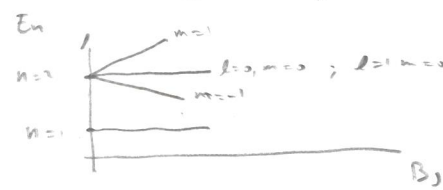
\Rightarrow A matriz do sub-espaco $E(n)$ é

$$\langle n' l' m' | W | n l m \rangle = \frac{\hbar m e B_0}{2\mu} S_{z1} S_{mm'} \Rightarrow \text{diagonal.}$$

$$= -B_0 \mu_B m S_{z1} S_{mm'}$$

Exemplo $n=2$ $l=0, m=0$ $l=1, m=1, 0, -1$ $\xi = \hbar e B_0 / \mu$

$$\begin{pmatrix} 0 & 0 & 0 & 0 \\ 0 & \xi & 0 & 0 \\ 0 & 0 & 0 & 0 \\ 0 & 0 & 0 & -\xi \end{pmatrix}$$



② Efeitos Stark (campo elétrico constante no direção z) (7)

$$\vec{E} = -\nabla \phi = E_0 \hat{z} \rightarrow \phi = -E_0 z$$

$$W = (-e)(-E_0 z) = eE_0 z = eE_0 r \cos\theta \quad (e > 0)$$

$$(a) [W, L_z] = [z, x P_y - y P_x] = 0$$

$$\langle n'e'm' | [W, L_z] | n'e'm \rangle = h^{(m-m')} \langle n'e'm' | w | n'e'm \rangle = 0$$

$$\Rightarrow \text{se } m \neq m' \quad \langle n'e'm' | w | n'e'm \rangle = 0$$

$$(b) \langle n'e'm' | w | n'e'm \rangle = eE_0 \int_0^{\infty} |R_{ne}(r)|^2 r^3 dr \int |Y_{en}(r, \theta)|^2 \cos \theta \sin \theta d\theta$$

Y_{en} é sempre par em impar $\Rightarrow |Y_{en}|^2 = \text{par}$ (from $\theta \rightarrow \pi - \theta$)
 $w \cos \theta \sin \theta = \text{impair} \Rightarrow$ integral é zero.

$$\underline{n=2} \quad \langle 100 | w | 110 \rangle = 0$$

	100	110	111	11-1
100	0	$\langle 100 w 110 \rangle$	0	0
110	$\langle 100 w 110 \rangle$	0	0	0
111	0	0	0	0
11-1	0	0	0	0

$$\Psi_{200}(r, \theta) = \frac{1}{4\sqrt{2\pi a_0^3}} \left(2 - \frac{r}{a_0}\right) e^{-r/a_0}; \quad \Psi_{210} = \frac{1}{4} \frac{1}{\sqrt{\pi a_0^3}} \frac{r}{a_0} \cos \theta e^{-r/a_0}$$

$$\langle 100 | w | 110 \rangle = 2\pi e E_0 \int \frac{\cos^2 \theta}{16(2\pi a_0^3)} \frac{r}{a_0} \left(2 - \frac{r}{a_0}\right) r^2 dr \sin \theta e^{-r/a_0}$$

(8)

$$= \frac{eE_0}{16a_0^4} \int_0^\infty r^4 \left(2 - \frac{r}{a_0}\right) e^{-r/a_0} dr \int_0^\pi w^2 \sin \theta d\theta$$

$\underbrace{\frac{r}{a_0} = x}_{x}$ $\underbrace{w^2 \sin \theta d\theta}_{w^2 = w^2}$

$$= a_0 e E_0 \int_0^\infty x^4 (2-x) e^{-x} dx \int_{-1}^{2/3} w^2 dw$$

$\underbrace{x^4 (2-x) e^{-x}}_{2 \cdot (24) - 5 \cdot 24} \quad \underbrace{\int_{-1}^{2/3} w^2 dw}_{-3 \cdot 24 = -72}$

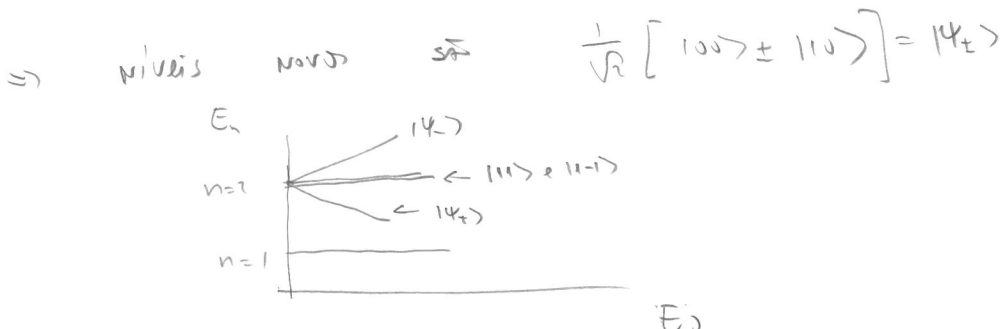
$\int_0^\infty x^n e^{-x} \sim n!$

$$= -\frac{a_0 e E_0}{16} \cdot \frac{2}{3} \cdot (8 \cdot 5) = -3 a_0 e E_0$$

$$\Rightarrow \begin{vmatrix} -\lambda & -3a_0 e E_0 \\ -3a_0 e E_0 & -\lambda \end{vmatrix} = 0$$

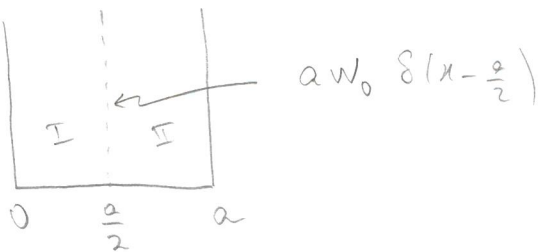
$$\lambda^2 - (3a_0 e E_0)^2 = 0$$

$$\boxed{\lambda = \pm 3a_0 e E_0}$$



$$\begin{pmatrix} 0 & -1 \\ -1 & 0 \end{pmatrix} \begin{pmatrix} 1 \\ 1 \end{pmatrix} = \begin{pmatrix} -1 \\ 1 \end{pmatrix} \sim h$$

Problema 11.1



Solução exata $\Psi_I = A \sin kx$; $\Psi_{II} = B \sin k(a-x)$

$$i) \quad \Psi_I(0) = \Psi_{II}(0) \quad A \sin \frac{k\alpha}{2} = B \sin \frac{k\alpha}{2}$$

$$\therefore A = B \quad \text{ou}$$

$$\sin \frac{k\alpha}{2} = 0 \rightarrow \frac{k\alpha}{2} = n\pi$$

$$k_n = \frac{2n\pi}{a}$$

soluções ímpares que zeram em $\frac{a}{2}$ e não dependem de perturbação.

$$z) \quad -\frac{\hbar^2}{2m} \int_{\frac{a}{2}-\epsilon}^{\frac{a}{2}+\epsilon} \frac{d^2\Psi}{dx^2} + aw_0 \underbrace{\int_{\frac{a}{2}-\epsilon}^{\frac{a}{2}+\epsilon} \delta(x - \alpha) \Psi(x) dx}_{\perp} = E \int_{\frac{a}{2}-\epsilon}^{\frac{a}{2}+\epsilon} \Psi dx$$

$$\Rightarrow \Psi''_{II}\left(\frac{a}{2}\right) - \Psi''_I\left(\alpha\right) = \frac{2maw_0}{\hbar^2} \Psi\left(\alpha\right)$$

$$-Bk w_0 \delta\left(a-\frac{a}{2}\right) - A k w_0 \delta\left(\alpha\right) = \frac{2maw_0}{\hbar^2} A \sin \frac{k\alpha}{2}$$

$$-2kw_0 \delta\left(\alpha\right) = \frac{2maw_0}{\hbar^2} \sin \frac{k\alpha}{2}$$

$$\boxed{\frac{K\hbar^2}{mw_0} = -4 \frac{k\alpha}{2}}$$

BSS se $\sin \frac{k\alpha}{2} = 0$ essa equação implica que $B = -A$ e que

resulta em $\Psi_{\pm} = -A \sin(k\alpha - \omega t) = -A \sin k\alpha \cos \omega t + A \sin \omega t \cos k\alpha$

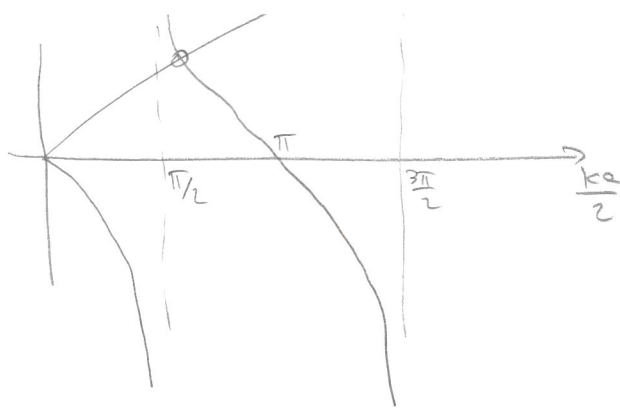
$$\text{e que } \sin k\alpha = 2 \sin \frac{k\alpha}{2} \cos \frac{k\alpha}{2} = 0$$

$$\omega k\alpha = \omega^2 k\alpha - \sin^2 \frac{k\alpha}{2} = 1$$

$$\Psi_{\pm} = A \sin k\alpha \cos \omega t \quad \text{com } K = \frac{2n\pi}{a}$$

\Rightarrow solução ímpar com $\omega = 0$.

(g2)



Se ω_0 é requerido um solução é $\frac{kx}{2} \approx \frac{(2m-1)\pi}{2} + D\omega_0$

$$\text{para } m=1: \quad \operatorname{tg} \frac{kx}{2} = \frac{\operatorname{tg} \pi/2 + \operatorname{tg} D\omega_0}{1 - \operatorname{tg} \pi/2 \operatorname{tg} D\omega_0} = -\frac{1}{\operatorname{tg} (D\omega_0)} \approx -\frac{1}{D\omega_0}$$

\uparrow vale pr todos

$$\frac{kx}{2} \left(\frac{2\pi^2}{m\omega_0^2} \right) = -\operatorname{tg} \frac{kx}{2}$$

$$\left[\frac{(2m-1)\pi}{2} + D\omega_0 \right] \frac{2\pi^2}{m\omega_0^2} = \frac{1}{D\omega_0}$$

$$\frac{(2m-1)\pi}{2} \cdot \frac{2\pi^2}{m\omega_0^2} \approx \frac{1}{D\omega_0} \quad D = \frac{m\omega_0^2}{\pi^2 h^2} \frac{1}{(2m-1)}$$

As energias dos estados pares ficam

$$E = \frac{\hbar^2 k^2}{2m} = \frac{\hbar^2}{2m} \left[\frac{(2m-1)\pi}{2} + \frac{2ma}{\pi h^2} \frac{\omega_0}{(2m-1)} \right]^2$$

$$\approx \frac{\hbar^2 \pi^2}{2m} (2m-1)^2 + \frac{\hbar^2}{2m} \frac{2\pi}{\pi h^2} \cdot \frac{2ma}{\pi h^2} \omega_0 + O(\omega^2)$$

$$E_m = E_m^0 + 2\omega_0 \quad \text{p/ } m \text{ impar}$$

$$E_m = E_m^0 \quad \text{p/ } m \text{ par}$$

(95)

Teoria de Perturbación 1º orden

estados $\begin{cases} \text{pares} \\ \text{impares} \end{cases}$ $\psi_n(x) = \sqrt{\frac{2}{\alpha}} \sin \frac{n\pi x}{\alpha}$ $\begin{cases} n = 1, 3, 5, \dots \\ n = 2, 4, 6, \dots \end{cases}$

$$E_1 = \langle \psi_n | W | \psi_n \rangle$$

$$= \frac{2}{\alpha} \int_0^{\alpha} \sin^2 \frac{n\pi x}{\alpha} \delta(x - \frac{\alpha}{2}) w_0 dx$$

$$= 2w_0 \sin^2 \left(\frac{n\pi}{2} \right) = \begin{cases} 2w_0 & n \text{ impar} \\ 0 & n \text{ par} \end{cases}$$

MÉTODO VARIACIONAL

Seja $H|\Psi_n\rangle = E_n|\Psi_n\rangle$. Se a diagonalização de H é muito complicada, podemos tentar calcular pelo menor a energia do estado fundamental.

Se $|\Psi\rangle$ um tel que. Ento

$$\langle H \rangle = \frac{\langle \Psi | H | \Psi \rangle}{\langle \Psi | \Psi \rangle} \gg E_0$$

Prova

$$|\Psi\rangle = \sum_n c_n |\Psi_n\rangle$$

$$\langle H \rangle = \frac{\sum_n |c_n|^2 E_n}{\sum_n |c_n|^2} \gg \frac{E_0 \sum_n |c_n|^2}{\sum_n |c_n|^2} = E_0$$

Isto pode ser usado para estimar E_0 . Se fizermos algum tro

↓ "feeling" sobre o estado fundamental podemos tentar

$$|\Psi(\alpha_1, \alpha_2, \dots, \alpha_r)\rangle$$

onde os α_i são parâmetros. Calculamos

$$\langle H \rangle (\alpha)$$

e minimizamos esse valor em relação aos parâmetros.

Example 1

$$H = -\frac{\hbar^2}{2m} \frac{d^2}{dx^2} + \frac{mw^2x^2}{2}$$

$$\Psi_\alpha(x) = e^{-\alpha x^2} \quad x > 0$$

$$\begin{aligned} \langle \Psi_\alpha | H | \Psi_\alpha \rangle &= -\frac{\hbar^2}{2m} \int_{-\infty}^{+\infty} e^{-\alpha x^2} \frac{d^2}{dx^2} e^{-\alpha x^2} dx + \frac{mw^2}{2} \int_{-\infty}^{+\infty} x^2 e^{-2\alpha x^2} dx \\ &= -\frac{\hbar^2}{2m} \int e^{-\alpha x^2} \left[-2\alpha x e^{-\alpha x^2} \right] dx + \frac{mw^2}{2} \cdot \frac{1}{2} \frac{d}{d\alpha} \int_{-\infty}^{+\infty} e^{-2\alpha x^2} dx \\ &= -\frac{\hbar^2}{2m} \int e^{-2\alpha x^2} (-2\alpha + 4\alpha^2 x^2) dx - \frac{mw^2}{4} \frac{d}{d\alpha} \left(\sqrt{\frac{\pi}{2\alpha}} \right) \\ &= \frac{\hbar^2 \alpha}{m} \sqrt{\frac{\pi}{2\alpha}} - \frac{2\hbar^2 \alpha^2}{m} \cdot \frac{-1}{2} \frac{d}{d\alpha} \sqrt{\frac{\pi}{2\alpha}} + \frac{mw^2}{8\alpha} \sqrt{\frac{\pi}{2\alpha}} \\ &= \sqrt{\frac{\pi}{2\alpha}} \left[\frac{\hbar^2 \alpha}{m} - \frac{\hbar^2 \alpha}{2m} + \frac{mw^2}{8\alpha} \right] = \sqrt{\frac{\pi}{2\alpha}} \left[\frac{\hbar^2 \alpha}{2m} + \frac{mw^2}{8\alpha} \right] \end{aligned}$$

$$\langle \Psi_\alpha | \Psi_\alpha \rangle = \sqrt{\frac{\pi}{2\alpha}}$$

$$\langle H \rangle = \frac{\hbar^2 \alpha}{2m} + \frac{mw^2}{8\alpha}$$

$$\frac{d}{d\alpha} \langle H \rangle = \frac{\hbar^2}{2m} - \frac{mw^2}{8\alpha^2} \equiv 0 \quad \alpha_0^2 = \frac{mw^2}{4\hbar^2} \quad \alpha_0 = \frac{mw}{2\hbar}$$

$$\Psi_{\alpha_0}(x) = \sqrt{\frac{\hbar}{mw\sqrt{\pi}}} e^{-\frac{mw\alpha_0^2}{2\hbar}}$$

$$\langle H \rangle_{\alpha_0} = \frac{\hbar^2}{2m} \cdot \frac{mw}{2\hbar} + \frac{mw^2}{8} \cdot \frac{2\hbar}{mw} = \frac{\hbar w}{2}$$

O MÉTODO SEMICLÁSSICO WKB

Queremos resolver a equação

$$-\frac{\hbar^2}{2m} \frac{d^2\psi}{dx^2} + V(x)\psi = E\psi$$

em condições próximas à validade da mecânica clássica, que é geralmente altas energias.

Suponha que um partícula de massa m e momento p se move em um campo de tamanho L . A condição semiclássica é que se visle como

$$\lambda = \frac{\hbar}{p} \ll L$$

$$\text{ou} \quad Lp \gg \hbar$$

que pode ser formalmente tomada como o limite $\hbar \rightarrow 0$.

Exemplo: $H = \frac{p^2}{2m} + \frac{mw^2 x^2}{2}$

seja E fixo $p \approx \sqrt{2mE}$, $L \approx \sqrt{\frac{2E}{mw^2}}$

$$Lp = \frac{2mE}{w} \gg \hbar \quad \Rightarrow \quad E \text{ grande ou } m \text{ grande} \\ \text{ou } w \text{ pequeno}$$

O primeiro passo no desenvolvimento dessa aproximação é escrever

$$\psi(x) = e^{\frac{iS(x)}{\hbar}} \cdot e^{\frac{ipx}{\hbar}}$$

Para um partícula livre $\psi(x) = e^{\frac{ipx}{\hbar}}$ é solução. Para um partícula ao longo de $\lambda = \hbar/p$, é isto. Se $V(x)$ varia pouco ao longo de $\lambda = \hbar/p$, a partícula "encontra" um potencial quase constante e espalha algo similar. A condição para isso é

$$|V(x+\lambda) - V(x)| \ll \frac{p^2}{2m}$$

$$|\lambda V'(x)| \ll p^2/2m$$

$$\frac{2m\hbar|F(x)|}{p^3} \ll 1 \quad \text{on} \quad F(x) = -\frac{\partial V}{\partial x} = \text{fona.}$$

Veja que a condição não é satisfeita se $p=0$, próximo ao ponto de corte.

Derivando $\psi(x)$ obtemos

$$\frac{d\psi}{dx} = \frac{i}{\hbar} \frac{dS}{dx} e^{\frac{iS}{\hbar}}$$

$$\frac{d^2\psi}{dx^2} = \left[-\frac{1}{\hbar^2} \left(\frac{dS}{dx} \right)^2 + \frac{i}{\hbar} \frac{d^2S}{dx^2} \right] e^{\frac{iS}{\hbar}}$$

e a equação de Schrödinger fin

$$\frac{1}{2m} \left(\frac{ds}{dx} \right)^2 - \frac{i\hbar}{2m} \frac{d^2 s}{dx^2} = E - V$$

Se $V=0$ sabemos que $\Psi = e^{\frac{iPx}{\hbar}}$, para um $V=V(x)$

Azemos $S = S_0(x) + \left(\frac{\hbar}{i}\right) S_1(x) + \left(\frac{\hbar}{i}\right)^2 S_2(x) \dots$

is em cada região a partícula vê um potencial constante & λ é pequeno.

Assim obtemos:

$$\frac{1}{2m} \left[\frac{dS_0}{dx} + \left(\frac{\hbar}{i}\right) \frac{dS_1}{dx} + \dots \right]^2 - \frac{i\hbar}{2m} \left[\frac{d^2 S_0}{dx^2} + \left(\frac{\hbar}{i}\right) \frac{d^2 S_1}{dx^2} + \dots \right] = E - V$$

Obtemos

$$\frac{1}{2m} \left(\frac{dS_0}{dx} \right)^2 + V(x) = E \quad \rightarrow \quad \text{Eq. Hamilton-Jacobi}$$

Obtemos L

$$-\frac{i\hbar}{m} \left(\frac{dS_0}{dx} \right) \left(\frac{dS_1}{dx} \right) - \frac{i\hbar}{2m} \frac{d^2 S_0}{dx^2} = 0 \quad \text{etc.}$$

⇒

$$S_0(x) = \pm \int_{x_0}^x \sqrt{2m(E-V(x))} dx' \quad \equiv \quad \pm \int_{x_0}^x P(x') dx'$$

$$\left(\frac{dS_0}{dx} \right) \left(\frac{dS_1}{dx} \right) = -\frac{1}{2} \left(\frac{d^2 S_0}{dx^2} \right)$$

$$P(x) \frac{dS_1}{dx} = -\frac{1}{2} \frac{dP}{dx} \quad \text{ou} \quad \frac{dS_1}{dx} = -\frac{1}{2} \frac{P'}{P} = \frac{1}{dx} \log P^{-1/2}$$

$$S_1(x) = \log P^{-1/2} \quad \text{ou} \quad e^{S_1(x)} = \frac{1}{\sqrt{P(x)}}$$

Portanto obtemos

$$\Psi(x) = \frac{C_1}{\sqrt{P}} e^{\frac{i}{\hbar} \int_P dx} + \frac{C_2}{\sqrt{P}} e^{-\frac{i}{\hbar} \int_P dx}$$

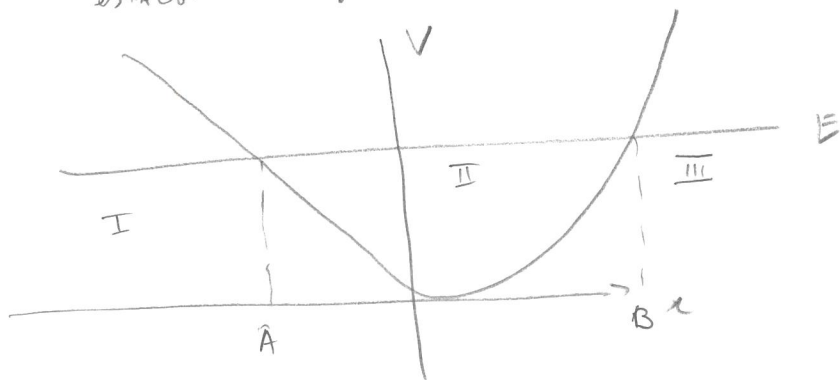
se $E > V$

$$\Psi(x) = \frac{D_1}{\sqrt{|P|}} e^{-\frac{1}{\hbar} \int_{|P|}^x |P| dx} + \frac{D_2}{\sqrt{|P|}} e^{\frac{1}{\hbar} \int_{|P|}^x |P| dx}$$

se $V > E$

onde $|P(m)| = \sqrt{2m(V(x)-E)}$

Para estados ligados temos



$$\Psi(x) = \begin{cases} \frac{D_1}{2\sqrt{|P|}} e^{+\frac{1}{\hbar} \int_x^{\infty} |P| dx} & \text{em } \text{I} \\ \frac{C}{\sqrt{P}} \cos \left(\frac{1}{\hbar} \int_x^{\infty} P(n) dn + \varphi \right) & \text{em } \text{II} \\ \frac{D_2}{2\sqrt{|P|}} e^{-\frac{1}{\hbar} \int_x^{\infty} |P| dx} & \text{em } \text{III} \end{cases}$$

Como obter $D_1, D_2, C \in \Psi$?

1) Aproximando nua vale para o proximo de A em B

2) Para $x \approx B$ $V(x) \approx V(B) + \frac{\partial V}{\partial x}(B)(x-B) = E - F_B(x-B)$

$$-\frac{\hbar^2}{2m} \frac{d^2\psi}{dx^2} = (E-V)\psi \approx F_B(x-B)\psi ; \quad F_B < 0$$

Nesse caso a solução é conhecida explicitamente:

$$\psi(x) = \frac{\psi_0}{\sqrt{\pi}} \int_0^\infty \cos\left(\frac{u^3}{3} - \frac{u\psi_0}{\hbar^{2/3}}\right) du = \psi_0 \text{Ai}(y)$$

$$y \equiv (-2mF_B)^{1/3} (B-x)$$

$$\approx \psi_0 \begin{cases} \frac{1}{y^{1/4}} \cos\left(\frac{2y^{3/2}}{3\hbar} - \pi/4\right) & y > 0 \\ \frac{1}{2} \frac{1}{|y|^{1/4}} e^{-\frac{2|y|^{3/2}}{3\hbar}} & y < 0 \end{cases} \quad \begin{matrix} (x < B, \text{ II}) \\ (x > B, \text{ III}) \end{matrix}$$

Vejam que $\frac{2y^{3/2}}{3} = \frac{2}{3} (-2mF_B)^{1/2} (B-x)^{3/2} = - \int_B^x \sqrt{-2mF_B(B-x)} dx = - \int_B^x p(x) dx$

$$\Rightarrow \Psi = \pm \pi/4 \quad \text{e} \quad D_2 = C$$

$$\begin{cases} F_B < 0 \\ E = \frac{p^2}{2m} + V(x) \approx \frac{p^2}{2m} + [E - F_B(B-x)] \\ \frac{p^2}{2m} = F_B(x-B) \\ p = \sqrt{-2mF_B(B-x)} \end{cases}$$

$$3) \quad \text{Para } x \approx A \quad V(x) = V(A) + \frac{\partial V}{\partial x}(A)(x-A) = E - F_A(x-A)$$

$$-\frac{\hbar^2}{2m} \frac{d^2\psi}{dx^2} = F_A(x-A); \quad F_A > 0$$

idem e

$$\psi(x) \approx \psi_0 \begin{cases} \frac{1}{2} \frac{1}{|y|^{1/4}} e^{-\frac{2|y|^{3/2}}{3\hbar}} & \text{si } y' < 0 \quad (x < A \Rightarrow \text{I}) \\ \frac{1}{|y|^{1/4}} \cos \left(\frac{2y^{3/2}}{3\hbar} - \pi/4 \right) & \text{si } y' > 0 \quad (x > A \Rightarrow \text{II}) \end{cases}$$

$$y' = (2mF_A)^{1/3} (x-A) \quad (\text{si } y' > 0 \Rightarrow x > A \Rightarrow \text{II})$$

nouvelle

$$\frac{2y^{3/2}}{3} = \frac{2}{3} (2mF_A)^{1/2} (x-A)^{3/2} = \int_A^x \sqrt{2mF_A(x') dx'} = \int_A^x p(x') dx'$$

$$F_A > 0$$

$$\Rightarrow D_1 = C e^{i\phi} = e^{-\pi/4}$$

$$\psi(x) = \begin{cases} \frac{C}{2|p|^{1/2}} e^{\frac{i}{\hbar} \int_A^x |p| dx'} & \text{I} \\ \frac{C}{\sqrt{p}} \cos \left(\frac{1}{\hbar} \int_B^x p(x') dx' + \pi/4 \right) & \text{II} \\ \frac{C}{2|p|^{1/2}} e^{-\frac{i}{\hbar} \int_B^x |p| dx'} & \text{III} \end{cases}$$

$$\int_A^x p(x) dx' - \frac{\pi}{4} = \int_A^B p(x') dx' + \int_B^x p(x') dx' - \frac{2\pi}{4} + \frac{\pi}{4} = \int_A^B p(x) dx - \frac{\pi}{2} + \left(\int_B^x p(x') dx' + \frac{\pi}{4} \right)$$

Para que o resultado em II seja satisfatório devemos:

(17)

$$\alpha = \frac{1}{\hbar} \int_A^B p(x) dx + \pi/4$$

$$\beta = \frac{1}{\hbar} \int_A^B p(x) dx - \pi/2$$

$$\begin{aligned} c' \cos(\alpha) &= c \cos(\alpha + \beta) \\ &= c \cos \alpha \cos \beta - c \sin \alpha \sin \beta \end{aligned}$$

$$\Rightarrow \boxed{\beta = n\pi} ; \quad \sin \beta = 0 \quad \cos \beta = (-1)^n$$

$$\boxed{c' = c (-1)^n}$$

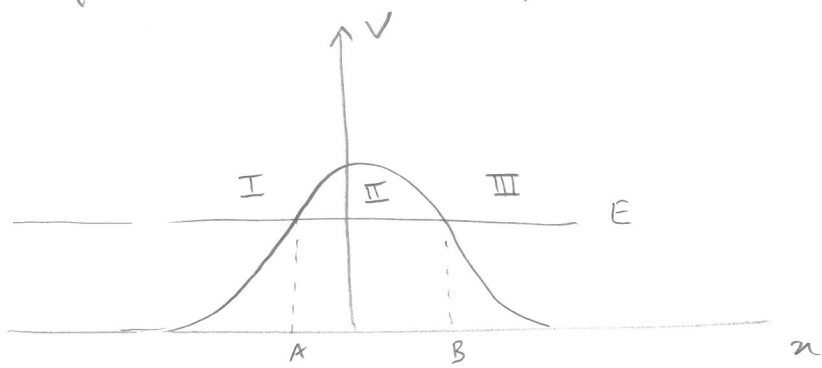
$$\frac{1}{\hbar} \int_A^B p(x) dx - \frac{\pi}{2} = n\pi \quad \rightarrow$$

$$\boxed{\int_A^B p(x) dx = \pi \hbar (n + 1/2)}$$

$$\Psi_{(1)} = \Psi_0 \begin{cases} \frac{1}{z|p|^{1/2}} e^{\frac{i}{\hbar} \int_A^x |p(x')| dx'} & \text{em } \text{I} \\ \frac{(-1)^n}{\sqrt{p}} \cos \left(\frac{1}{\hbar} \int_A^x p(x') dx' + \pi/n \right) & \text{em } \text{II} \\ \frac{(-1)^n}{z|p|^{1/2}} e^{-\frac{i}{\hbar} \int_B^x |p(x')| dx'} & \text{em } \text{III} \end{cases}$$

TUNELAMENTO

Vamos agora considerar um potencial do tipo barreira



A solução semi-clássica geral é

$$\psi(x) = \begin{cases} \frac{A}{\sqrt{P}} e^{\frac{i}{\hbar} \int p_m dx} + \frac{R}{\sqrt{P}} e^{-\frac{i}{\hbar} \int p_m dx} & \text{em I} \\ \frac{C}{\sqrt{|p_l|}} e^{\frac{i}{\hbar} \int p_l dx} + \frac{D}{\sqrt{|p_l|}} e^{-\frac{i}{\hbar} \int p_l dx} & \text{em II} \\ \frac{T}{\sqrt{P}} e^{\frac{i}{\hbar} \int p_m dx} & \text{em III} \end{cases}$$

para uma onda que vem da esquerda.

Próximo ao ponto de retorno B temos

$$-\frac{\hbar^2}{2m} \frac{d^2\psi}{dx^2} = F_B(x-B) \quad \text{em} \quad F_B = -\frac{\partial V}{\partial x}(B) > 0$$

A solução agora deve envolver a função $B_l(y)$ também:

$$\psi(x) = F A_l(y) + G B_l(y) ; \quad y = (2mF_B)^{\frac{1}{3}}(B-x)$$

A função $B_l(y)$ satisfaz a mesma equação que $A_l(y)$, sendo L.I. Seu comportamento assintótico é dado por

$$B_i(y) \approx \begin{cases} \frac{1}{|y|^{\frac{1}{4}}} e^{2|y|^{\frac{3}{2}}/3} & \text{if } y > 0 \quad (\text{em II}) \\ \frac{1}{|y|^{\frac{1}{4}}} \cos\left(\frac{2}{3}|y|^{\frac{3}{2}} + \frac{\pi}{4}\right) & \text{if } y < 0 \quad (\text{em III}) \end{cases}$$

No regime III fazemos

$$\Psi_{\text{III}} = F A_i(y) + G B_i(y) \approx$$

$$\frac{F}{|y|^{\frac{1}{4}}} \sin\left(\frac{2|y|^{\frac{3}{2}}}{3} + \pi/4\right) + \frac{G}{|y|^{\frac{1}{4}}} \cos\left(\frac{2}{3}|y|^{\frac{3}{2}} + \pi/4\right) \Rightarrow \boxed{F = iG}$$

$$= \frac{G}{|y|^{\frac{1}{4}}} e^{\frac{2i}{3}|y|^{\frac{3}{2}} + i\pi/4}$$

$\text{OBS} \quad A_i(y) \sim \frac{1}{ y ^{\frac{1}{4}}} \cos(u - \pi/4)$ $= \frac{1}{ y ^{\frac{1}{4}}} \cos(u + \pi/4 - \pi/2)$ $= \frac{1}{ y ^{\frac{1}{4}}} \sin(u + \pi/4)$
--

Vejam que, no regime III ($x > B$),

$$\frac{2}{3}|y|^{\frac{3}{2}} = \frac{2}{3}\sqrt{2mF_B} (x-B)^{\frac{3}{2}} = \int_B^x \sqrt{2mF_B} (x-B)^{\frac{1}{2}} dx = \int_B^x p(u) du$$

No regime II fizemos com

$$\begin{aligned} \Psi_{\text{II}}(u) &= G(iA_i(y) + B_i(y)) \\ &\approx \frac{iG}{2|y|^{\frac{1}{4}}} e^{-2|y|^{\frac{3}{2}}/3} + \frac{G}{|y|^{\frac{1}{4}}} e^{+2|y|^{\frac{3}{2}}/3} \end{aligned}$$

$$\Rightarrow \boxed{T = Ge^{\frac{\pi i}{4}}} \quad C = G, \quad D = iG/2$$

$$\boxed{C = Te^{-i\pi/4}}$$

$$\boxed{D = \frac{1}{2}iT e^{-i\pi/4}}$$

Nas fronteiras entre as regiões I e II fazendo a mesma coisa:

$$-\frac{\hbar^2}{2m} \frac{d^2\psi}{dx^2} = F_0(x-A) = -F_A(A-x) ; \quad F_0 = -\frac{\partial V}{\partial x}(x) < 0$$

$$\Psi(x) = \alpha A_i(y) + \beta B_i(y) ; \quad y = (-2mF_0)^{1/3}(A-x) \stackrel{y>0 \Rightarrow \text{III}}{\Rightarrow} \alpha < 0 \Rightarrow \text{II}$$

$$\begin{aligned} \text{Em III} \quad \Psi(x) &\approx \frac{\alpha}{y^{1/4}} \sin\left(\frac{2y^{3/2}}{3} + \pi/4\right) + \frac{\beta}{y^{1/4}} \cos\left(\frac{2y^{3/2}}{3} + \pi/4\right) \\ &= \frac{(\beta - i\alpha)}{2} \frac{1}{y^{1/4}} e^{i\pi/4} + \frac{(\beta + i\alpha)}{2} \frac{1}{y^{1/4}} e^{-i\pi/4} \end{aligned}$$

$$\begin{aligned} \frac{1}{2}(\beta - i\alpha) e^{i\pi/4} &= A \\ \frac{1}{2}(\beta + i\alpha) e^{-i\pi/4} &= R \end{aligned}$$

$$\begin{aligned} \text{Em II} \quad \Psi(x) &\approx \frac{\alpha}{2|y|^{1/4}} e^{-\frac{2|y|^{3/2}}{3\hbar}} + \frac{\beta}{|y|^{1/4}} e^{\frac{2|y|^{3/2}}{3\hbar}} \end{aligned}$$

$$\Rightarrow \frac{\alpha}{2} = D \quad \beta = C \quad \text{com}$$

$$\begin{aligned} \frac{2}{3} |y|^{3/2} &= \frac{2}{3} \sqrt{-2mF_0} (x-A)^{3/2} = \int_A^x \sqrt{-2mF_0} (x-A)^{1/2} dx' \\ &= \int_A^B |\rho(x')| dx' + \int_B^x |\rho(x')| dx' \Rightarrow \Delta = \int_A^B |\rho(x')| dx' \end{aligned}$$

$$\frac{\alpha}{2} e^{-D} = D = \frac{1}{2} C + e^{-i\pi/4}$$

$$\beta e^D = C = +e^{-i\pi/4}$$

Assim, em termos

$$\begin{aligned}
 A &= \underbrace{(\beta - i\alpha)}_{\sim} e^{i\pi/4} = \frac{1}{2} \left(T e^{-i\pi/4} e^{-D} \right) e^{i\pi/4} - \frac{i}{2} \left(i T e^{-i\pi/4} e^D \right) e^{i\pi/4} \\
 &= \frac{T}{2} e^{-D} + \frac{T}{2} e^D = T \left(\frac{e^{-D} + e^D}{2} \right) \\
 R &= \underbrace{(\beta + i\alpha)}_{\sim} e^{-i\pi/4} = \frac{1}{2} \left(T e^{-i\pi/4} e^{-D} \right) e^{-i\pi/4} + \frac{i}{2} \left(i T e^{-i\pi/4} e^D \right) e^{-i\pi/4} \\
 &= -i \frac{T}{2} e^{-D} + i \frac{T}{2} e^D = -i T \left(\frac{e^{-D} - e^D}{2} \right)
 \end{aligned}$$

\Rightarrow O coeficiente de transmissão é

$$t = \frac{|T|^2}{|A|^2} = \frac{1}{\left(\frac{e^{-D} + e^D}{2} \right)^2} = \approx 4e^{-2D} = 4e$$

$$-2 \int_A^B |P(x)| dx$$

o de reflexão.

$$\begin{aligned}
 r &= \frac{|R|^2}{|A|^2} = \frac{|T|^2 \left(\frac{e^{-D} - e^D}{2} \right)^2}{|T|^2 \left(\frac{e^{-D} + e^D}{2} \right)^2} = \tan^2 D \approx 1 \\
 &\approx 1 - 4e^{-2D} = 1 - 4e^{-2 \int_A^B |P(x)| dx}
 \end{aligned}$$

Vejam que $t + r = 1$.

APÊNDICE : FUNÇÕES DE AIRY A_i e B_i

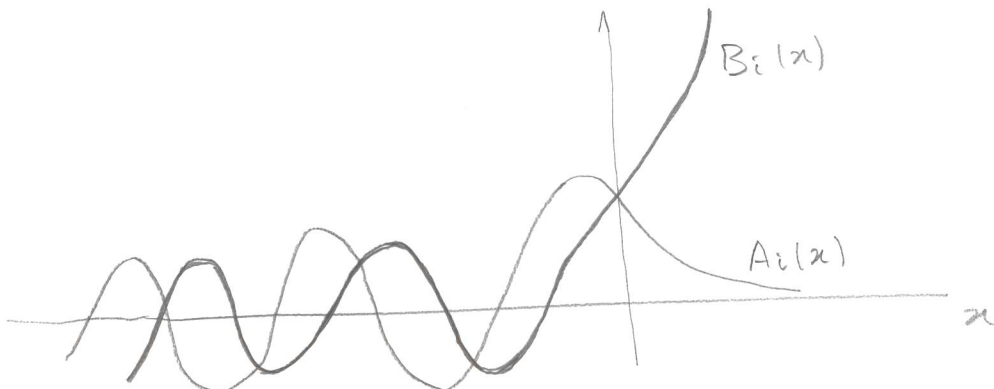
(A1)

A_i e B_i são as soluções independentes da equação

$$y'' - zy = 0$$

$$y(z) = \alpha A_i(z) + \beta B_i(z)$$

O comportamento dessas funções é ilustrado abaixo:



As formas integrais São:

$$A_i(x) = \int_0^{\infty} \cos\left(\frac{t^3}{3} + xt\right) dt$$

$$B_i(x) = \int_0^{\infty} \left[e^{-\frac{t^3}{3}+xt} + \sin\left(\frac{t^3}{3}+xt\right) \right] dt$$

$$e$$

$$A_i(+\infty) \approx \begin{cases} \frac{1}{\sqrt{\pi} x^{1/4}} \sin\left[\frac{2|x|^{3/2}}{3} + \pi/4\right] & \text{p/ } x \rightarrow -\infty \\ \frac{1}{2\sqrt{\pi} x^{1/4}} e^{-\frac{2}{3}|x|^{3/2}} & \text{p/ } x \rightarrow \infty \end{cases}$$

$$B_i(x) \simeq \begin{cases} \frac{1}{\sqrt{\pi}} x^{1/4} \cos \left[\frac{2x^{3/2}}{3} + \frac{\pi}{9} \right] & x \rightarrow -\infty \\ \frac{1}{\sqrt{\pi}} x^{1/4} e^{\frac{2}{3}x^{3/2}} & x \rightarrow +\infty \end{cases}$$

(A2)

A equação de Schrödinger linearizada em termos do ponto

P é dada por

$$-\frac{\hbar^2}{2m} \frac{d^2\psi}{dx^2} = (E - V(P) - V'(P)(x-P)) \psi = -V'(P)(x-P) \psi(x)$$

ou

$$\psi'' - \frac{2mV'(P)}{\hbar^2}(x-P)\psi = 0$$

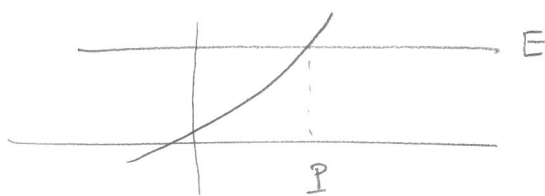
Fazendo $y \equiv a(x-P)$ obtemos

$$\frac{dy^2}{dy^2} - \frac{2mV'(P)}{a^2\hbar^2} \cdot \frac{y}{a} \psi = 0$$

Escolhendo $\frac{2mV'(P)}{\hbar^2} = a^3$ e supondo $V'(P) > 0$ obtemos

$$\frac{dy^2}{dy^2} - y \psi = 0$$

$$\psi(x) = \alpha A_i(y) + \beta B_i(y) = \alpha A_i \left(\frac{2mV'(x-P)}{\hbar^2} \right) + \beta B_i \left(\frac{2mV'(x-P)}{\hbar^2} \right)$$



Quando os argumentos são negativos as funções oscilam. Isso

acontece para $x < I$:

$$\psi(x) \approx \frac{\alpha}{\sqrt{\pi} |y|^{1/4}} \sin\left(\frac{2|y|^{3/2}}{3} + \pi/4\right) + \frac{\beta}{\sqrt{\pi} |y|^{1/4}} \cos\left(\frac{2|y|^{3/2}}{3} + \pi/4\right) \quad \text{p/ } x < I \\ \text{an } y < 0$$

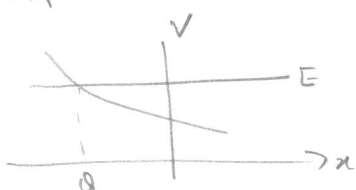
Note que $\sin(z + \pi/4) = \sin(z - \pi/4 + \pi/2) = \cos(z - \pi/4)$, portanto
primeiros termos t.b. podem ser escritos com $\frac{\alpha}{\sqrt{\pi} |y|^{1/4}} \cos\left(\frac{2|y|^{3/2}}{3} - \pi/4\right)$ e

$$|y|^{3/2} = \frac{(2mV(I))^{1/2}}{\hbar} (I - x)^{3/2} .$$

Para $x > I$ temos

$$\psi(x) \approx \frac{\alpha}{2\sqrt{\pi} |y|^{1/4}} e^{-\frac{2}{3}|y|^{3/2}} + \frac{\beta}{\sqrt{\pi} |y|^{1/4}} e^{\frac{2}{3}|y|^{3/2}} ; \quad |y|^{3/2} = \frac{\sqrt{2mV(P)}}{\hbar} (x - I)^{3/2} .$$

Se expandirmos em termos de um ponto Q onde $V'(Q) < 0$,



$$+ \text{ equação } \frac{d^2\psi}{dx^2} - y\psi = 0 \quad \text{e } a^3 = -\frac{2mV'(Q)}{\hbar^2} .$$

$$y = a(Q - x)$$

Nessas condições:

(A4)

$$\text{Se } x > Q \quad , \quad y < 0 \quad e$$

$$\psi(x) \approx \frac{\alpha}{\sqrt{\pi} |y|^{1/4}} \sin \left(\frac{2|y|^{3/2}}{3} + \pi/4 \right) + \frac{\Gamma}{\sqrt{\pi} |y|^{1/4}} \cos \left(\frac{2|y|^{3/2}}{3} + \pi/4 \right) ; \quad |y| = \frac{|y|^{3/2}}{\sqrt{-2mV}} (x-Q)^{3/2}$$

$$\text{Se } x < Q \quad , \quad y > 0$$

$$\psi(x) \approx \frac{\alpha}{2\sqrt{\pi} y^{1/4}} e^{-\frac{2}{3} y^{3/2}} + \frac{\Gamma}{\sqrt{\pi} y^{1/4}} e^{\frac{2}{3} y^{3/2}} ; \quad y^{3/2} = \frac{\sqrt{-2mV(y)}}{\hbar} (Q-x)^{3/2}$$

A PÊNDICE - Soluções das Equações $-\frac{\hbar^2}{2m} \frac{d^2\psi}{dx^2} = F_B (x-B)^2 \psi$; $F_B < 0$ (51)

Sendo $H = \frac{P^2}{2m} + \alpha x$, Na representação de momento temos

$$\langle p | H | \psi \rangle = E \langle p | \psi \rangle$$

$$\left(\frac{P^2}{2m} + i\hbar\alpha \frac{\partial}{\partial p} \right) \psi(p) = E \psi(p)$$

$$\left. \begin{aligned} \langle x | H | \psi \rangle &= E \langle x | \psi \rangle \\ -\frac{\hbar^2}{2m} \frac{d^2\psi}{dx^2} + \alpha x \psi &= E \psi(x) \end{aligned} \right\}$$

A solução que queremos tem $E = -F_B B$ e $\alpha = -F_B > 0$.

A solução de $\psi(p)$ pode ser escrita na forma

$$\psi(p) = A e$$

$$\frac{\partial \psi}{\partial p} = [iC + 3iDp^2] \psi \quad \text{e obtemos}$$

$$\frac{P^2}{2m} + i\hbar\alpha [iC + 3iDp^2] = E \quad \Rightarrow \quad E = -\hbar\alpha C \quad C = -\frac{E}{\hbar\alpha} \\ \frac{1}{2m} = 3\hbar\alpha D \quad D = \frac{1}{6m\alpha\hbar}$$

Assim,

$$\psi(p) = A e^{i(\frac{p^3}{6m} - Ep)}$$

$$\begin{aligned} \psi(x) &= \int_{-\infty}^{+\infty} \langle x | p \rangle dp \langle p | \psi \rangle = A \int_{-\infty}^{+\infty} e^{\frac{ipx}{\hbar}} e^{i(\frac{p^3}{6m} - Ep)} dp \\ &= A \int_{-\infty}^{+\infty} e^{i \left[\frac{p^3}{6m\hbar} - \left(\frac{E}{\hbar} - \frac{x}{\hbar} \right) p \right]} dp = A \int_{-\infty}^{+\infty} \cos \left[\frac{p^3}{6m\hbar} - \left(\frac{E}{\hbar} - \frac{x}{\hbar} \right) p \right] dp \end{aligned}$$

onde usamos $e^{if(r)} = \cos f(r) + i \sin f(r)$ e que $f(p) \rightarrow \infty$ é uma função ímpar de p . A integral acima é então $2 \times \int_0^{\infty}$.

(BL)

$$F_A \text{ Azenado Agora} \quad u = \frac{P}{(2m\hbar\alpha)^{1/3}} \quad \text{e quando } E = -F_B B, \alpha = -F_0 > 0$$

$$\begin{aligned} \frac{P^3}{6m\hbar\alpha} - \frac{P}{\hbar} \left(\frac{E}{\alpha} - x \right) &= \frac{\mu^3}{3} - \frac{(2m\hbar\alpha)^{1/3}}{\hbar} \mu (B-x) \\ &= \frac{\mu^3}{3} - \frac{(-2mF_B)^{1/3}}{\hbar^{2/3}} (B-x) \mu \end{aligned}$$

$$\psi(x) = A' \int_0^\infty \omega \left[\mu^3/3 - \mu y/\hbar^{2/3} \right] du \quad \text{com} \quad y = (-2mF_B)^{1/3} (B-x)$$

Do lado esquerdo, próximo a $x=A$ a equação é $-\frac{\hbar^2}{2m} \frac{d^2\psi}{dx^2} = F_A (x-A)$; $F_A > 0$

e $E = -AF_A$; $\alpha = -F_A < 0$. O argumento do cosseno é

$$\frac{P^3}{6m\hbar\alpha} - \frac{P}{\hbar} \left(\frac{E}{\alpha} - x \right) = -\frac{P^3}{(6m\hbar F_A)} + \frac{P}{\hbar} (x-A) = - \left[\frac{P^3}{(6m\hbar F_A)} - \frac{P}{\hbar} (x-A) \right]$$

Como o cosseno é para o sinal não importa. Fazendo $u = \frac{P}{(2m\hbar F_A)^{1/3}}$ $y = (2mF_A)^{1/3} (x-A)$

$$\psi(x) = A' \int_0^\infty \omega \left[\mu^3/3 - \mu y/\hbar^{2/3} \right] du$$